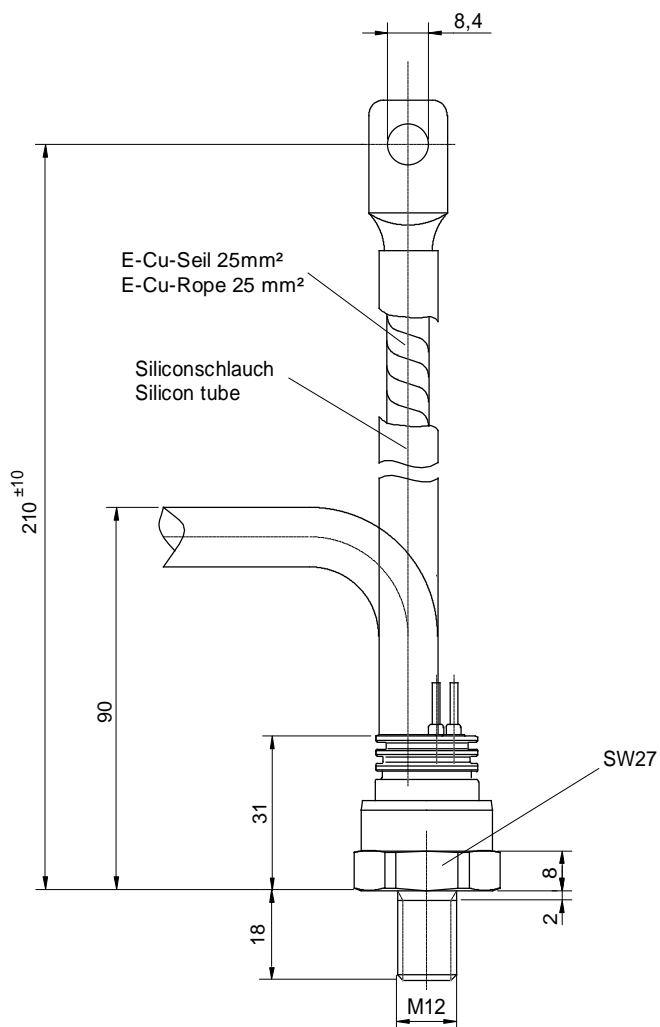


European Power-
Semiconductor and
Electronics Company
GmbH + Co. KG

Leistungsgleichrichterdioden Power Rectifier Diodes D 121 N

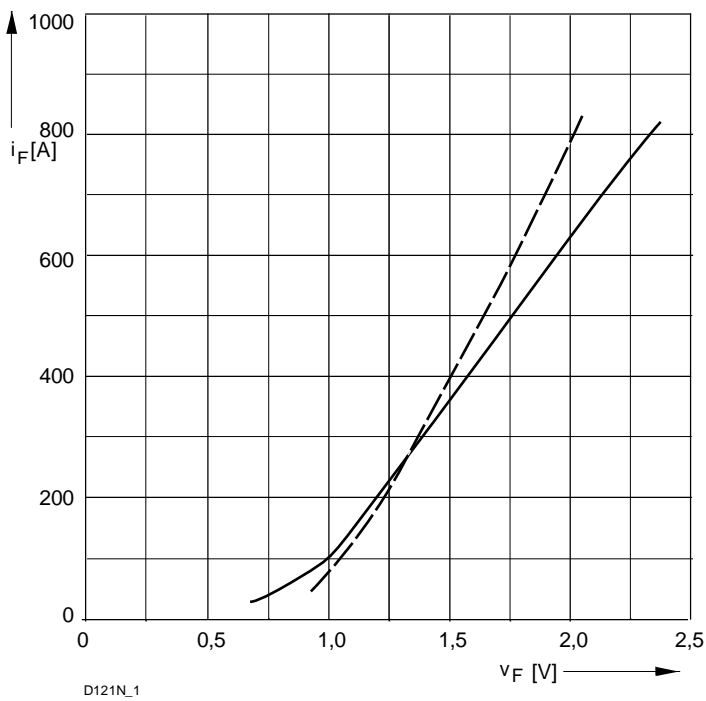


Typ Type	Schalsymbol Circuit symbol	Kathode Cathode	Anode Anode	Schutzschlauch Prot. flex. tubing
D121N		Seil Rope	Gewinde Thread	rot red
D121K		Gewinde Thread	Seil Rope	blau blue

D 121 N

Elektrische Eigenschaften						
Electrical properties						
Höchstzulässige Werte		Maximum rated values				
Periodische Spitzensperrspannung	repetitive peak reverse voltage	$t_{vj} = -40^{\circ}\text{C} \dots t_{vj \max}$	V_{RRM}	800, 1200, 1400	V	
				1800, 2000	V	
Stoßspitzensperrspannung	non-repetitive peak reverse voltage	$t_{vj} = +25^{\circ}\text{C} \dots t_{vj \max}$	$V_{RSM} = V_{RRM}$	+ 100	V	
Durchlaßstrom-Grenzeffektivwert	RMS forward current		I_{FRMSM}	360	A	
Dauergrenzstrom	mean forward current	$t_c = 130^{\circ}\text{C}$ $t_c = 46^{\circ}\text{C}$	I_{FAVM}	120	A	
				230	A	
Stoßstrom-Grenzwert	surge forward current	$t_{vj} = 25^{\circ}\text{C}, t_p = 10 \text{ ms}$ $t_{vj} = t_{vj \max}, t_p = 10 \text{ ms}$	I_{FSM}	3,1	kA	
				2,6	kA	
Grenzlastintegral	$I^2 t$ -value	$t_{vj} = 25^{\circ}\text{C}, t_p = 10 \text{ ms}$ $t_{vj} = t_{vj \max}, t_p = 10 \text{ ms}$	$I^2 t$	48,1	kA^2s	
				33,8	kA^2s	
Charakteristische Werte		Characteristic values				
Durchlaßspannung	on-state voltage	$t_{vj} = t_{vj \max}, i_F = 700 \text{ A}$	V_T	max.	2,14	V
Schleusenspannung	threshold voltage	$t_{vj} = t_{vj \max}$	$V_{T(TO)}$		0,72	V
Ersatzwiderstand	slope resistance	$t_{vj} = t_{vj \max}$	r_T		1,9	$\text{m}\Omega$
Sperrstrom	reverse current	$t_{vj} = t_{vj \max}, V_R = V_{RRM}$	i_R	max.	20	mA
Thermische Eigenschaften		Thermal properties				
Innerer Widerstand	thermal resistance, junction to case	$\Theta = 180^{\circ} \text{ sin DC}$	R_{thJC}	max.	0,324	$^{\circ}\text{C/W}$
				max.	0,310	$^{\circ}\text{C/W}$
Übergangs-Wärmewiderstand	thermal resistance, case to heatsink		R_{thCK}	max.	0,04	$^{\circ}\text{C/W}$
Höchstzul. Sperrsichttemperatur	max. junction temperature			$t_{vj \max}$	180	$^{\circ}\text{C}$
Betriebstemperatur	operating temperature			$t_{c \text{ op}}$	-40...+180	$^{\circ}\text{C}$
Lagertemperatur	storage temperature			t_{stg}	-40...+180	$^{\circ}\text{C}$
Mechanische Eigenschaften		Mechanical properties				
Si-Element mit Druckkontakt	Si-pellet with pressure contact	$\varnothing = 15 \text{ mm}$				
Anzugsdrehmoment	tightening torque	Gehäuseform/case design B	M1		20	Nm
Gewicht	weight		G	typ.	175	g
Kriechstrecke	creepage distance				12	mm
Feuchtekategorie	humidity classification	DIN 40040				C
Schwingfestigkeit	vibration resistance	$f = 50 \text{ Hz}$			50	m/s^2
Maßbild	outline				Seite/page	
Polarität	polarity				Anode=Gehäuse/case	

D 121 N



Bild/Fig. 1
Grenzdurchlaßkennlinie
Limiting forward characteristic $i_F = f(v_F)$

— $t_{vj} = 180^\circ\text{C}$
— $t_{vj} = 25^\circ\text{C}$

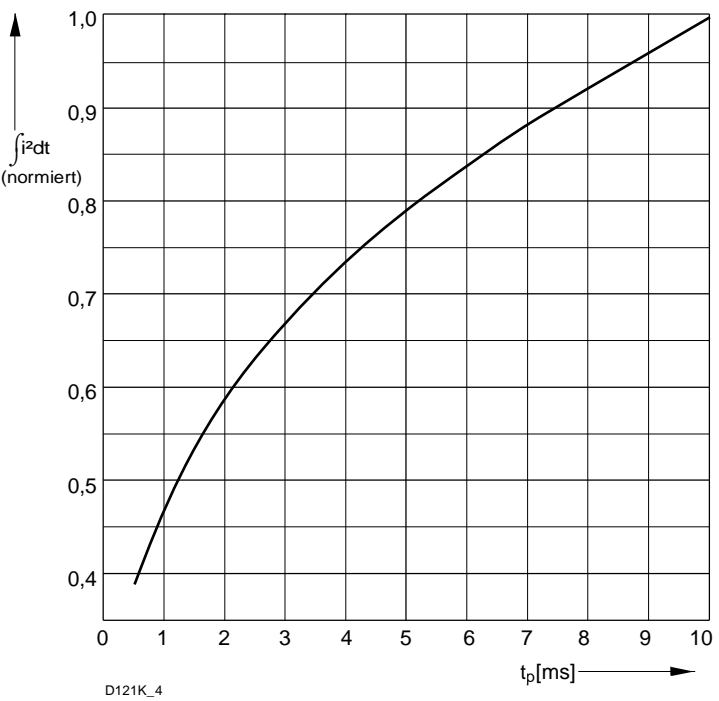


Bild / Fig. 2
Normiertes Grenzlastintegral / Normalized i^2t
 $\int i^2 dt = f(t_p)$

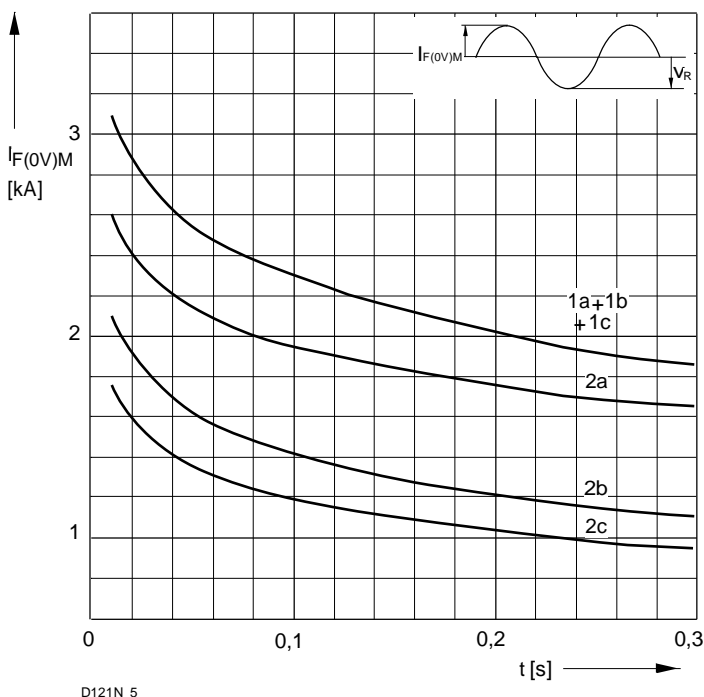


Bild / Fig. 3
Grenzstrom / Maximum overload forward current $I_F(0V)M = f(t)$

1 - $|I_{FAV}(\text{vor})| = 0 \text{ A}; t_{vj} = t_c = 25^\circ\text{C}$
2 - $|I_{FAV}(\text{vor})| = 120 \text{ A}; t_c = 113^\circ\text{C}; t_{vj} = 180^\circ\text{C}$
a - $v_R \leq 50 \text{ V}$
b - $v_R = 0,5 \text{ V RRM}$
c - $v_R = 0,8 \text{ V RRM}$

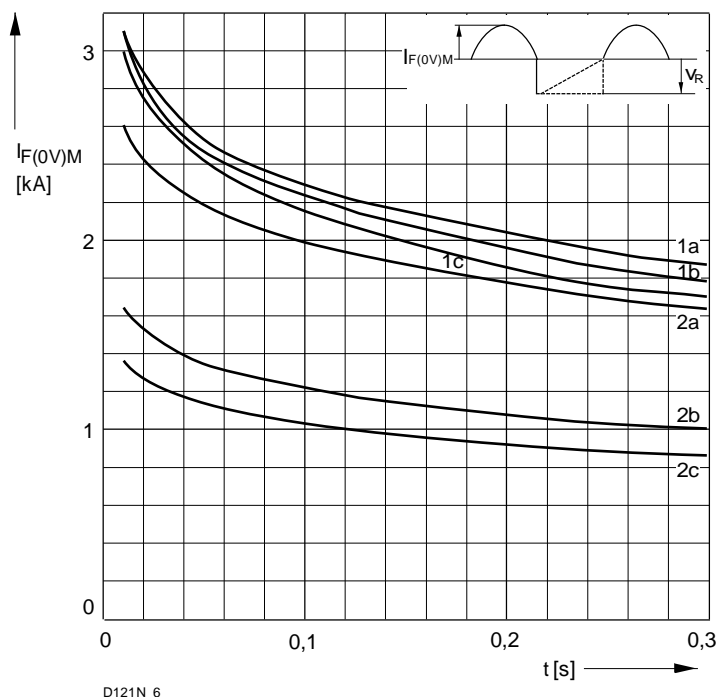


Bild / Fig. 4
Grenzstrom / Maximum overload forward current $I_F(0V)M = f(t)$

1 - $|I_{FAV}(\text{vor})| = 0 \text{ A}; t_{vj} = t_c = 25^\circ\text{C}$
2 - $|I_{FAV}(\text{vor})| = 120 \text{ A}; t_c = 113^\circ\text{C}; t_{vj} = 180^\circ\text{C}$
a - $v_R \leq 50 \text{ V}$
b - $v_R = 0,5 \text{ V RRM}$
c - $v_R = 0,8 \text{ V RRM}$

D 121 N

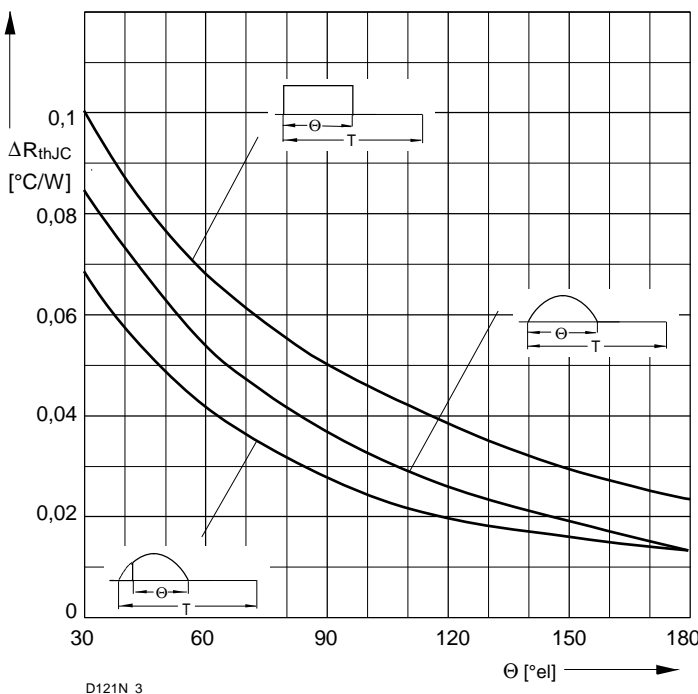


Bild / Fig. 5
Differenz zwischen den Wärmewiderständen
für Pulsstrom und DC
Difference between the values of thermal resistance for
pulse current and DC
Parameter: Stromkurvenform / Current waveform

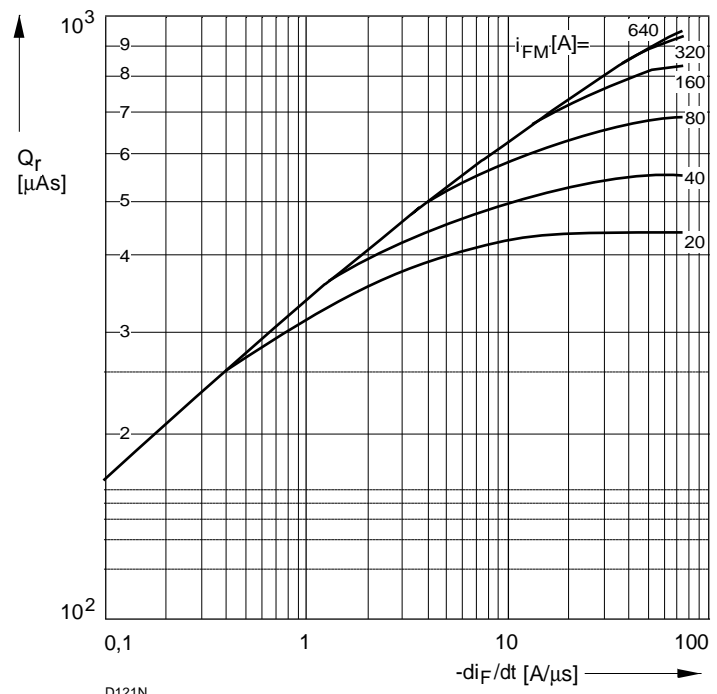


Bild / Fig. 6
Sperrverzögerungsladung / Recovered charge $Q_r = f(-diF/dt)$
 $t_{vj} = t_{vjmax}$; $VR \leq 0,5 V_{RRM}$; $V_{RM} = 0,8 V_{RRM}$
Beschaltung / Snubber: $C = 0,33 \mu\text{F}$; $R = 10 \Omega$
Parameter: Durchlaßstrom / Forward current i_{FM}

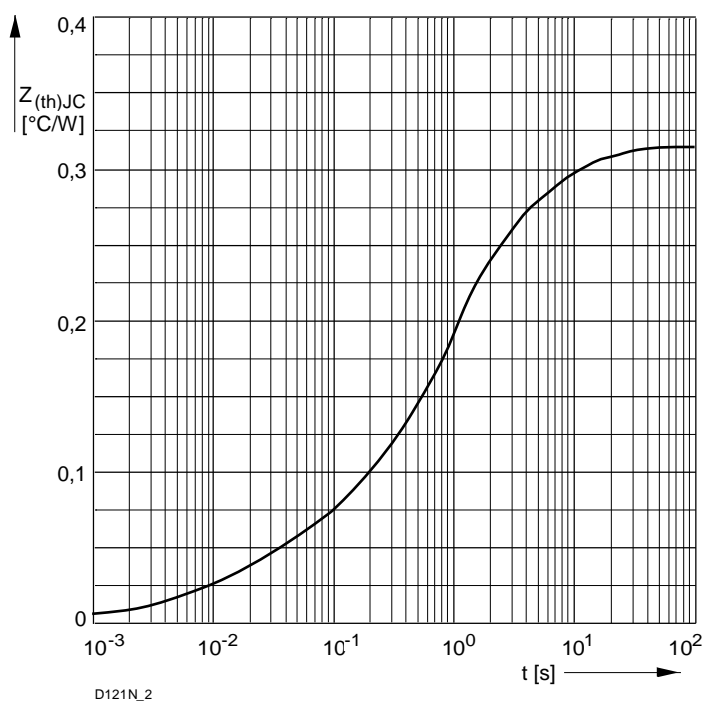


Bild / Fig. 7
Transienter innerer Wärmewiderstand
Transient thermal impedance $Z_{thJC} = f(t)$, DC
1 - Beidseitige Kühlung / Two-sided cooling
2 - Anodenseitige Kühlung / Anode-sided cooling
3 - Kathodenseitige Kühlung / Cathode-sided cooling

Analytische Elemente des transienten Wärmewiderstandes Z_{thJC} für DC
Analytical elements of transient thermal impedance Z_{thJC} for DC

Pos. n	1	2	3	4	5	6	7
R_{thn} $^{\circ}\text{C}/\text{W}$	0,000052	0,003148	0,0101	0,0274	0,0639	0,133	0,0724
t_n [s]	0,000009	0,000254	0,0029	0,0158	0,252	1,1	7,49

Analytische Funktion / Analytical function:

$$Z_{thJC} = \sum_{n=1}^{n_{\max}} R_{thn} (1 - \text{EXP}(-t/\tau_n))$$